

Starkniederschlagshöhen und -spenden gemäß KOSTRA-DWD-2020

Rasterfeld 102119

(Zeile 102, Spalte 119)

Regenspende und Bemessungsniederschlagswerte in Abhängigkeit von Wiederkehrzeit T und Dauerstufe D

| Dauerstufe D | | Wiederkehrzeit T | | | | | | | | | | | | | | | | | |
|--------------|-----|------------------|------------|------|------------|------|------------|------|------------|-------|------------|-------|------------|-------|------------|-------|------------|-------|------------|
| | | 1 a | | 2 a | | 3 a | | 5 a | | 10 a | | 20 a | | 30 a | | 50 a | | 100 a | |
| min | Std | mm | l / (s ha) | mm | l / (s ha) | mm | l / (s ha) | mm | l / (s ha) | mm | l / (s ha) | mm | l / (s ha) | mm | l / (s ha) | mm | l / (s ha) | mm | l / (s ha) |
| 5 | | 6,5 | 216,7 | 8,0 | 266,7 | 9,0 | 300,0 | 10,2 | 340,0 | 12,0 | 400,0 | 13,9 | 463,3 | 15,1 | 503,3 | 16,7 | 556,7 | 19,0 | 633,3 |
| 10 | | 8,5 | 141,7 | 10,5 | 175,0 | 11,8 | 196,7 | 13,4 | 223,3 | 15,8 | 263,3 | 18,3 | 305,0 | 19,9 | 331,7 | 22,0 | 366,7 | 25,0 | 416,7 |
| 15 | | 9,8 | 108,9 | 12,1 | 134,4 | 13,5 | 150,0 | 15,4 | 171,1 | 18,2 | 202,2 | 21,0 | 233,3 | 22,8 | 253,3 | 25,3 | 281,1 | 28,7 | 318,9 |
| 20 | | 10,7 | 89,2 | 13,3 | 110,8 | 14,9 | 124,2 | 16,9 | 140,8 | 19,9 | 165,8 | 23,0 | 191,7 | 25,1 | 209,2 | 27,7 | 230,8 | 31,5 | 262,5 |
| 30 | | 12,1 | 67,2 | 15,0 | 83,3 | 16,8 | 93,3 | 19,2 | 106,7 | 22,6 | 125,6 | 26,1 | 145,0 | 28,3 | 157,2 | 31,3 | 173,9 | 35,6 | 197,8 |
| 45 | | 13,6 | 50,4 | 16,9 | 62,6 | 18,9 | 70,0 | 21,6 | 80,0 | 25,4 | 94,1 | 29,3 | 108,5 | 31,9 | 118,1 | 35,3 | 130,7 | 40,1 | 148,5 |
| 60 | 1 | 14,8 | 41,1 | 18,3 | 50,8 | 20,5 | 56,9 | 23,4 | 65,0 | 27,5 | 76,4 | 31,8 | 88,3 | 34,6 | 96,1 | 38,2 | 106,1 | 43,5 | 120,8 |
| 90 | 1,5 | 16,5 | 30,6 | 20,5 | 38,0 | 22,9 | 42,4 | 26,1 | 48,3 | 30,8 | 57,0 | 35,5 | 65,7 | 38,7 | 71,7 | 42,8 | 79,3 | 48,6 | 90,0 |
| 120 | 2 | 17,9 | 24,9 | 22,2 | 30,8 | 24,8 | 34,4 | 28,3 | 39,3 | 33,3 | 46,3 | 38,4 | 53,3 | 41,8 | 58,1 | 46,2 | 64,2 | 52,6 | 73,1 |
| 180 | 3 | 19,9 | 18,4 | 24,7 | 22,9 | 27,6 | 25,6 | 31,5 | 29,2 | 37,1 | 34,4 | 42,8 | 39,6 | 46,6 | 43,1 | 51,5 | 47,7 | 58,6 | 54,3 |
| 240 | 4 | 21,5 | 14,9 | 26,7 | 18,5 | 29,8 | 20,7 | 34,0 | 23,6 | 40,0 | 27,8 | 46,2 | 32,1 | 50,3 | 34,9 | 55,6 | 38,6 | 63,3 | 44,0 |
| 360 | 6 | 24,0 | 11,1 | 29,7 | 13,8 | 33,2 | 15,4 | 37,9 | 17,5 | 44,6 | 20,6 | 51,5 | 23,8 | 56,0 | 25,9 | 61,9 | 28,7 | 70,4 | 32,6 |
| 540 | 9 | 26,6 | 8,2 | 33,0 | 10,2 | 36,9 | 11,4 | 42,1 | 13,0 | 49,6 | 15,3 | 57,3 | 17,7 | 62,3 | 19,2 | 68,9 | 21,3 | 78,3 | 24,2 |
| 720 | 12 | 28,7 | 6,6 | 35,6 | 8,2 | 39,8 | 9,2 | 45,4 | 10,5 | 53,4 | 12,4 | 61,7 | 14,3 | 67,2 | 15,6 | 74,3 | 17,2 | 84,5 | 19,6 |
| 1080 | 18 | 31,9 | 4,9 | 39,6 | 6,1 | 44,3 | 6,8 | 50,5 | 7,8 | 59,4 | 9,2 | 68,6 | 10,6 | 74,7 | 11,5 | 82,6 | 12,7 | 93,9 | 14,5 |
| 1440 | 24 | 34,4 | 4,0 | 42,7 | 4,9 | 47,7 | 5,5 | 54,4 | 6,3 | 64,1 | 7,4 | 74,0 | 8,6 | 80,5 | 9,3 | 89,0 | 10,3 | 101,2 | 11,7 |
| 2880 | 48 | 41,3 | 2,4 | 51,1 | 3,0 | 57,2 | 3,3 | 65,2 | 3,8 | 76,7 | 4,4 | 88,6 | 5,1 | 96,4 | 5,6 | 106,6 | 6,2 | 121,3 | 7,0 |
| 4320 | 72 | 45,9 | 1,8 | 56,8 | 2,2 | 63,6 | 2,5 | 72,5 | 2,8 | 85,3 | 3,3 | 98,5 | 3,8 | 107,2 | 4,1 | 118,5 | 4,6 | 134,8 | 5,2 |
| 5760 | 96 | 49,4 | 1,4 | 61,2 | 1,8 | 68,5 | 2,0 | 78,1 | 2,3 | 91,9 | 2,7 | 106,2 | 3,1 | 115,5 | 3,3 | 127,7 | 3,7 | 145,3 | 4,2 |
| 7200 | 120 | 52,4 | 1,2 | 64,9 | 1,5 | 72,6 | 1,7 | 82,8 | 1,9 | 97,4 | 2,3 | 112,5 | 2,6 | 122,4 | 2,8 | 135,4 | 3,1 | 154,0 | 3,6 |
| 8640 | 144 | 54,9 | 1,1 | 68,0 | 1,3 | 76,1 | 1,5 | 86,8 | 1,7 | 102,2 | 2,0 | 118,0 | 2,3 | 128,4 | 2,5 | 142,0 | 2,7 | 161,4 | 3,1 |
| 10080 | 168 | 57,2 | 0,9 | 70,8 | 1,2 | 79,3 | 1,3 | 90,4 | 1,5 | 106,3 | 1,8 | 122,8 | 2,0 | 133,6 | 2,2 | 147,8 | 2,4 | 168,0 | 2,8 |

Starkniederschlagshöhen und -spenden gemäß KOSTRA-DWD-2020

Rasterfeld 102119

(Zeile 102, Spalte 119)

Örtliche Unsicherheiten in Abhängigkeit von Wiederkehrzeit T und Dauerstufe D

| Dauerstufe D | | Wiederkehrzeit T | | | | | | | | |
|--------------|-----|------------------|-----|-----|-----|------|------|------|------|-------|
| | | 1 a | 2 a | 3 a | 5 a | 10 a | 20 a | 30 a | 50 a | 100 a |
| min | Std | ± % | ± % | ± % | ± % | ± % | ± % | ± % | ± % | ± % |
| 5 | | 15 | 16 | 17 | 18 | 19 | 20 | 21 | 21 | 22 |
| 10 | | 17 | 19 | 20 | 21 | 22 | 23 | 24 | 24 | 25 |
| 15 | | 18 | 20 | 21 | 22 | 24 | 25 | 25 | 26 | 26 |
| 20 | | 18 | 20 | 22 | 23 | 24 | 25 | 26 | 26 | 27 |
| 30 | | 18 | 21 | 22 | 23 | 24 | 25 | 26 | 26 | 27 |
| 45 | | 18 | 20 | 21 | 22 | 24 | 25 | 25 | 26 | 27 |
| 60 | 1 | 17 | 19 | 21 | 22 | 23 | 24 | 25 | 25 | 26 |
| 90 | 1,5 | 16 | 18 | 19 | 21 | 22 | 23 | 24 | 24 | 25 |
| 120 | 2 | 15 | 17 | 19 | 20 | 21 | 22 | 23 | 23 | 24 |
| 180 | 3 | 14 | 16 | 17 | 18 | 20 | 21 | 21 | 22 | 23 |
| 240 | 4 | 13 | 15 | 16 | 18 | 19 | 20 | 20 | 21 | 22 |
| 360 | 6 | 13 | 14 | 15 | 17 | 18 | 19 | 19 | 20 | 20 |
| 540 | 9 | 12 | 14 | 15 | 16 | 17 | 18 | 18 | 19 | 19 |
| 720 | 12 | 12 | 14 | 14 | 15 | 16 | 17 | 18 | 18 | 19 |
| 1080 | 18 | 13 | 14 | 14 | 15 | 16 | 17 | 17 | 18 | 18 |
| 1440 | 24 | 13 | 14 | 14 | 15 | 16 | 16 | 17 | 17 | 18 |
| 2880 | 48 | 16 | 15 | 16 | 16 | 16 | 17 | 17 | 17 | 18 |
| 4320 | 72 | 17 | 17 | 17 | 17 | 17 | 17 | 18 | 18 | 18 |
| 5760 | 96 | 19 | 18 | 18 | 18 | 18 | 18 | 18 | 18 | 19 |
| 7200 | 120 | 20 | 19 | 19 | 19 | 19 | 19 | 19 | 19 | 19 |
| 8640 | 144 | 21 | 20 | 20 | 19 | 19 | 19 | 19 | 19 | 20 |
| 10080 | 168 | 22 | 21 | 20 | 20 | 20 | 20 | 20 | 20 | 20 |

Parameter für abweichende T und D

Lokationsparameter ξ (Xi)

15,08748389

Skalenparameter α (Alpha)

5,00445068

Formparameter κ (Kappa)

-0,1

1. Koutsoyiannis-Parameter θ (Theta)

0,02590088

2. Koutsoyiannis-Parameter η (Eta)

0,73986502

Parameter für dauerstufenübergreifende Extremwertschätzung nach KOUTSOYIANNIS et al. 1998.

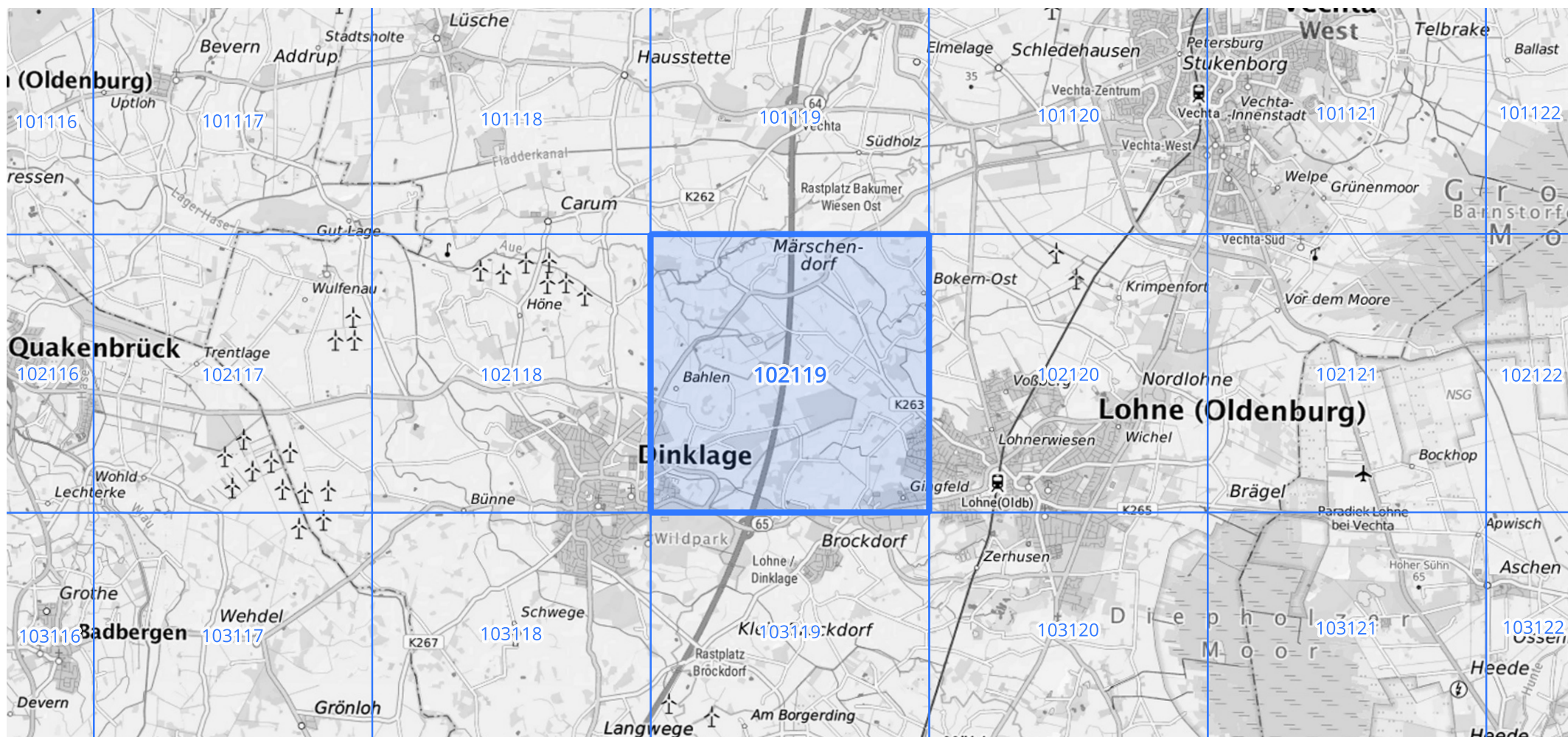
Siehe auch Anwendungshilfe zu KOSTRA-DWD-2020 des Deutschen Wetterdienstes.

Starkniederschlagshöhen und -spenden gemäß KOSTRA-DWD-2020

Rasterfeld 102119

(Zeile 102, Spalte 119)

Übersichtskarte des Rasterfeldes 102119, M 1 : 100 000



Quelle Rasterdaten: KOSTRA-DWD-2020 des Deutschen Wetterdienstes, Stand 12/2022.

Seite 3 von 3

Kartendarstellung: © Bundesamt für Kartographie und Geodäsie (2023), Datenquellen: https://sgx.geodatenzentrum.de/web_public/gdz/datenquellen/Datenquellen_TopPlusOpen.html

Für die Richtigkeit und Aktualität der Angaben wird keine Gewähr übernommen. Erstellt 01/2023.